

· 技术与方法 · doi:10.3969/j.issn.1671-8348.2016.29.022

## Peroxiredoxin-1 基因沉默对转化生长因子 $\beta 1$ 促进肺成纤维细胞 I、III型胶原合成的影响<sup>\*</sup>

刘宝欣<sup>1</sup>, 刘英宇<sup>1</sup>, 魏中秋<sup>2</sup>, 梁婷婷<sup>2</sup>, 范玉磊<sup>2</sup>, 杨方<sup>2</sup>, 孙影<sup>2△</sup>

(1. 华北理工大学附属唐山市工人医院呼吸内科, 河北唐山 063000;

2. 华北理工大学基础医学院病理学系, 河北唐山 063000)

**[摘要]** 目的 探讨 Peroxiredoxin-1(Prx-1)基因沉默对转化生长因子  $\beta 1$ (TGF- $\beta 1$ )促进肺成纤维细胞合成 I 和 III型胶原的影响及其作用机制。方法 体外培养肺成纤维细胞分为 4 组:对照组(0.4% 血清), TGF- $\beta 1$  组(5  $\mu\text{g}/\text{L}$ ), TGF- $\beta 1$ +阴性转染组(5  $\mu\text{g}/\text{L}$  TGF- $\beta 1$ +阴性对照 siRNA), TGF- $\beta 1$ +Prx-1 siRNA 转染组(5  $\mu\text{g}/\text{L}$  TGF- $\beta 1$ +Prx-1 siRNA)。利用脂质体 Lipo2000 将阴性对照 siRNA 和 Prx-1 siRNA 分别转染到 TGF- $\beta 1$ +阴性转染组和 TGF- $\beta 1$ +Prx-1 siRNA 转染组的肺成纤维细胞中, 转染 48 h 后用于后续实验。实时荧光定量 PCR(RT-PCR)检测转染后各组的 Prx-1 mRNA 表达水平, 蛋白免疫印迹法(Western blot)检测磷酸化 Akt(p-Akt)及 I 和 III型胶原蛋白水平, 2,7-二氯荧光素二乙酸检测活性氧(ROS)水平。结果 (1) Prx-1 siRNA 转染肺成纤维细胞后, TGF- $\beta 1$ +Prx-1 siRNA 转染组的 Prx-1 mRNA 表达明显降低。(2) 与对照组比较, TGF- $\beta 1$  组 I 和 III型胶原、ROS 及 p-Akt 蛋白水平均明显增加( $0.34 \pm 0.06$  vs.  $0.58 \pm 0.06$ 、 $0.42 \pm 0.05$  vs.  $0.56 \pm 0.06$ 、 $2988 \pm 379$  vs.  $4315 \pm 580$  和  $0.29 \pm 0.05$  vs.  $0.66 \pm 0.07$ , 差异有统计学意义( $P < 0.05$ ))。与 TGF- $\beta 1$  组比较, TGF- $\beta 1$ +阴性转染组 I 和 III型胶原、ROS 及 p-Akt 水平无明显变化( $P > 0.05$ ), 但 TGF- $\beta 1$ +Prx-1 siRNA 转染组 I 和 III型胶原、ROS 及 p-Akt 蛋白水平均进一步增高( $0.58 \pm 0.06$  vs.  $0.79 \pm 0.09$ 、 $0.56 \pm 0.06$  vs.  $0.77 \pm 0.08$ 、 $4315 \pm 580$  vs.  $5841 \pm 782$  和  $0.66 \pm 0.07$  vs.  $0.93 \pm 0.15$ , 差异有统计学意义( $P < 0.05$ ))。结论 TGF- $\beta 1$  能够诱导肺成纤维细胞生成 ROS, 并由此促进 Akt 的激活和肺成纤维细胞合成 I 和 III型胶原; 而沉默 Prx-1 基因可激活 ROS/Akt 通路, 从而有助于 TGF- $\beta 1$  促进肺成纤维细胞合成胶原。

**[关键词]** 活性氧; 转化生长因子- $\beta 1$ ; 胶原; Peroxiredoxin-1

**[中图分类号]** R563.9

**[文献标识码]** A

**[文章编号]** 1671-8348(2016)29-4099-04

### Effect of silencing peroxiredoxin-1 on the expressions of collagen type I and III in TGF- $\beta 1$ induced pulmonary fibroblasts<sup>\*</sup>

Liu Baoxin<sup>1</sup>, Liu Yingyu<sup>1</sup>, Wei Zhongqiu<sup>2</sup>, Liang Tingting<sup>2</sup>, Fan Yulei<sup>2</sup>, Yang Fang<sup>2</sup>, Sun Ying<sup>2△</sup>

(1. Department of Respiratory Medicine, Tangshan Works Hospital Affiliated to North China University of Science and Technology, Tangshan, Hebei 063000, China; 2. Department of Pathology, Primary Medicine College, North China University of Science and Technology, Tangshan, Hebei 063000, China)

**[Abstract]** Objective To investigate the effect of silencing peroxiredoxin-1(Prx-1) on the expressions of collagen type I and III in TGF- $\beta 1$ -induced pulmonary fibroblasts and the possible mechanism. Methods Cultured pulmonary fibroblasts were randomly divided into four groups: control group(0.4% serum), TGF- $\beta 1$  group(5  $\mu\text{g}/\text{L}$ ), TGF- $\beta 1$ +negative transfection group(TGF- $\beta 1$ +scramble siRNA) and TGF- $\beta 1$ +Prx-1 siRNA transfection group(TGF- $\beta 1$ +Prx-1 siRNA). The negative control siRNA and siRNA Prx-1 were transfected into the lung fibroblast cells transfected with TGF- $\beta 1$ +negative transfection group and TGF- $\beta 1$ +Prx-1 siRNA transfection group by liposome Lipo2000 respectively. After 48 h, the cells were used for subsequent experiments. Real-time PCR was used to evaluate Prx-1 mRNA. Western blot was employed to detect the expressions of collagen type I and III, phosphorylated Akt(p-Akt), and total Akt. Reactive oxygen species (ROS) were measured by DCFH-DA. Results (1) After transfection of siRNA Prx-1 into the lung fibroblasts, Prx-1 mRNA expression was significantly decreased in the TGF- $\beta 1$ +Prx-1 siRNA group. (2) Compared with control group, expressions of collagen type I and III, ROS and p-Akt in TGF- $\beta 1$  group were all increased ( $0.34 \pm 0.06$  vs.  $0.58 \pm 0.06$ 、 $0.42 \pm 0.05$  vs.  $0.56 \pm 0.06$ 、 $2988 \pm 379$  vs.  $4315 \pm 580$ ,  $0.29 \pm 0.05$  vs.  $0.66 \pm 0.07$ , ( $P < 0.01$ )). There were no differences in the levels of collagen, ROS and p-Akt between TGF- $\beta 1$  group and TGF- $\beta 1$ +negative transfection group( $P > 0.05$ ). However, the levels of collagen type I and III, ROS and p-Akt in TGF- $\beta 1$ +Prx-1 siRNA transfection group were further higher than TGF- $\beta 1$  group ( $0.58 \pm 0.06$  vs.  $0.79 \pm 0.09$ 、 $0.56 \pm 0.06$  vs.  $0.77 \pm 0.08$ 、 $4315 \pm 580$  vs.  $5841 \pm 782$  and  $0.66 \pm 0.07$  vs.  $0.93 \pm 0.15$ , ( $P < 0.05$ )). Conclusion TGF- $\beta 1$  induces pulmonary fibroblasts to generate ROS, which contributes to Akt activation and collagen type I and III synthesis; these changes become more obvious with the treatment of Prx-1 siRNA.

**[Key words]** reactive oxygen species; transforming growth factor- $\beta 1$ ; collagen; Peroxiredoxin-1

\* 基金项目:国家自然科学基金资助项目(81072254);唐山市科学技术研究与发展基金资助项目(14130275B)。作者简介:刘宝欣(1974—),副主任医师,本科,主要从事肺癌研究。 △ 通讯作者, Tel:15102532160; E-mail:1565756268@qq.com。

矽肺是长期吸入二氧化硅粉尘而引起的一种职业病,其主要病理变化是肺组织弥漫性纤维化,I 和Ⅲ型胶原的表达增多是其中重要原因之一<sup>[1]</sup>。转化生长因子β1(transforming growth factor-β1,TGF-β1)在矽肺肺组织中表达增高,具有促纤维化作用。笔者前期研究显示,TGF-β1 可通过上调活性氧(reactive oxygen species,ROS)激活 C-Jun 蛋白激酶(JNK)细胞内信号传导通路,从而促进肺成纤维细胞合成 I 和Ⅲ型胶原<sup>[2-3]</sup>。最近 Lu 等<sup>[4]</sup>报道博来霉素通过激活 ROS/Akt 通路促进肺组织纤维化。Peroxiredoxin 家族是一类新发现的过氧化物酶,其中,Peroxiredoxin 1(Prx-1)在哺乳动物中广泛表达,可快速有效地清除细胞内产生的 ROS,并抑制 ROS 介导的细胞内传导通路激活<sup>[5]</sup>。但在矽肺纤维化过程中,目前并不清楚 ROS/Akt 通路是否介导了 TGF-β1 促肺成纤维细胞 I、Ⅲ型胶原合成增加的作用,及 Prx-1 是否通过抑制 ROS/Akt 通路激活来抑制 TGF-β1 的促纤维化作用。本项目利用 TGF-β1 刺激正常及转染 Prx-1 siRNA 的肺成纤维细胞,检测 I 和Ⅲ型胶原、ROS 及 Akt 磷酸化的变化,探讨 Prx-1 对 ROS/Akt 通路介导的 TGF-β1 促纤维化作用的影响。

## 1 材料与方法

**1.1 材料** 人胚胎肺成纤维细胞 MRC-5 购自中国科学院细胞库;TGF-β1 购自美国 Peprotech 公司;总 Akt(T-Akt)及磷酸化 Akt(p-Akt)抗体购自美国 Cell Signaling 公司;Prx-1 抗体购自美国 Abcam 产品公司;I、Ⅲ型胶原抗体和 GAPDH 抗体购自武汉博士德生物有限公司;Prx-1 siRNA 及 Prx-1 基因上、下游引物由上海吉玛公司合成;M-MLV 逆转录试剂盒、SYBR+ Tap 混合剂购自美国 Invitrogen 公司;活性氧检测试剂盒购自江苏南通碧云天生物技术公司。凝胶图像分析仪购自美国 Bio-RAD 公司。

## 1.2 方法

**1.2.1 肺成纤维细胞的培养** 肺成纤维细胞在 5% 血清水平的改良杜氏伊格尔培养基(DMEM),5% CO<sub>2</sub>,37 °C 条件下常规体外培养。

**1.2.2 实验分组** MRC-5 细胞分为 4 组:对照组(0.4% 血清),TGF-β1 组(5 μg/L),TGF-β1+阴性转染组(5 μg/L TGF-β1+阴性对照 siRNA),TGF-β1+Prx-1 siRNA 转染组(5 μg/L TGF-β1+Prx-1 siRNA),每组样本数为 5。本研究共设计 3 个不同靶基因位点的特异性 Prx-1 siRNA,分别是 Prx-1 siRNA-209、Prx-1 siRNA-289、Prx-1 siRNA-453,选择抑制作用最明显的 Prx-1 siRNA 用于实验。利用脂质体 Lipo2000 将阴性对照 siRNA、Prx-1 siRNA 分别转染到 TGF-β1+阴性转染组和 TGF-β1+Prx-1 siRNA 转染组,转染 48 h 后各组细胞用 0.4% 血清培养 12 h,使其同步化。

**1.2.3 实时荧光定量 PCR(RT-PCR)检测 Prx-1 siRNA 转染后 Prx-1 mRNA 水平** Trizol 法提取对照组、TGF-β1+阴性转染组和 TGF-β1+Prx-1 siRNA 转染组的细胞总 RNA。逆转录后取行 RT-PCR,扩增体系如下:SYBR+ Taq 混合剂 10 μL,Prx-1 或甘油醛-3-磷酸脱氢酶(GAPDH)上、下游引物各 0.5 μL(Prx-1 的上游引物为 5'-CCC CAC GGA GAT CAT TGC TT-3',Prx-1 的下游引物为 5'-CGA GAT GCC TTC ATC AGC CT-3';GAPDH 的上游引物为 5'-ATG AAT GGG

CAG CCG TTA GG-3',GAPDH 的下游引物为 5'-TGG ATT TGC CAT GGG TGG A-3',cDNA 1 μL,双蒸水 8 μL;循环参数为:95 °C 预变性 30 s;95 °C 5 s,60 °C 30 s,72 °C 30 s,循环 40 次。

**1.2.4 2,7-二氯荧光素二乙酸检测细胞内 ROS 水平** 2,7-二氯荧光素二乙酸(无荧光)进入细胞后被酯酶分解,生成还原型二氯荧光素(无荧光),还原型二氯荧光素不但无法穿过细胞膜,还可被细胞内的 ROS 氧化生成氧化型二氯荧光素,二氯荧光素可发出荧光,因此荧光量可间接反映细胞内 ROS 水平。本研究中,细胞同步化后,与 TGF-β1 共孵育 20 min,收集制备单细胞悬液。加入 2,7-二氯荧光素二乙酸(终浓度为 10 μmol/L),37 °C 孵育 20 min,洗涤后计数 1×10<sup>4</sup> 个细胞,荧光酶标仪(激发波长 488 nm,发射波长 525 nm)检测各组的荧光强度。

**1.2.5 蛋白免疫印迹法(Western blot)检测 I、Ⅲ型胶原和 Akt 水平** 各组细胞同步化后,与 TGF-β1 共孵育 45 min(用于检测 p-Akt)和 48 h(用于检测 I 和Ⅲ型胶原蛋白),磷酸盐缓冲液(PBS)洗涤后细胞裂解液裂解细胞 30 min,收集细胞,离心后收集上清液,-70 °C 保存。利用考马斯亮蓝法测定细胞总蛋白浓度,并以每孔 20 μg 总蛋白量进行电泳。转膜后,经 5% 牛血清清蛋白室温孵育 1 h,T-Akt,p-Akt、I 型胶原、Ⅲ型胶原和 GAPDH 抗体(均 1:1 000 稀释)4 °C 孵育过夜,Ⅱ抗(均 1:3 000 稀释)室温孵育 2 h,BCIP/NBT(1:50 稀释)显色 3 min。Image J 软件扫描蛋白表达条带并进行定量分析。p-Akt 与 T-Akt 的比值为 p-Akt 的表达值,I 或Ⅲ型胶原与 GAPDH 的比值为 I 或Ⅲ型胶原的表达值。

**1.3 统计学处理** 采用 SPSS 15.0 统计软件进行统计分析,计量资料以  $\bar{x} \pm s$  表示,单因素方差分析用于多组间比较,组间两两比较采用 LSD 法。以  $P < 0.05$  为差异有统计学意义。

## 2 结 果

**2.1 Prx-1 siRNA 转染对肺成纤维细胞 Prx-1 mRNA 表达的影响** RT-PCR 结果显示,对照组和 TGF-β1+阴性转染组的 Prx-1 mRNA 的表达水平差异无统计学意义( $P > 0.05$ )。与对照组和 TGF-β1+阴性转染组相比,转染的 3 个特异性 Prx-1 siRNA 均可不同程度地降低肺成纤维细胞 Prx-1 mRNA 水平,其中,以 Prx-1 siRNA-453 抑制作用最明显,遂将 Prx-1 siRNA-453 用于后续实验,见表 1。

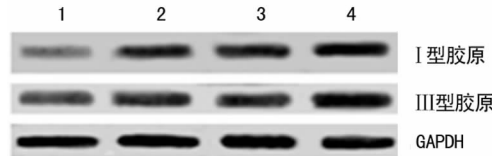
表 1 Prx-1 siRNA 转染对 MRC-5 细胞 Prx-1 mRNA 表达的影响 ( $n=5, \bar{x} \pm s$ )

组别	Prx-1 mRNA/GAPDH
对照组	1
TGF-β1+阴性转染组	0.968±0.142
TGF-β1+Prx-1 siRNA-209	0.170±0.034*
TGF-β1+Prx-1 siRNA-289	0.226±0.058*
TGF-β1+Prx-1 siRNA-453	0.082±0.043**#

\*:  $P < 0.01$ ,与对照组和 TGF-β1+阴性转染组比较;#:  $P < 0.05$ ,与 TGF-β1+Prx-1 siRNA-209 和 TGF-β1+Prx-1 siRNA-289 比较。

**2.2 I、Ⅲ型胶原蛋白表达** Western blot 结果显示,对照组

I 和 III 型胶原的表达值分别为  $0.34 \pm 0.06$  和  $0.42 \pm 0.05$ , TGF- $\beta 1$  组 I 和 III 型胶原的表达值分别为  $0.59 \pm 0.07$  和  $0.57 \pm 0.07$ , TGF- $\beta 1$  组 I 和 III 型胶原的表达明显高于对照组, 差异有统计学意义 ( $P < 0.01$ )。TGF- $\beta 1$ + 阴性转染组 I 和 III 型胶原的表达值分别为  $0.52 \pm 0.07$  和  $0.58 \pm 0.09$ , 与 TGF- $\beta 1$  组比较, 差异无统计学意义 ( $P > 0.05$ )。但 TGF- $\beta 1$ +Prx-1 siRNA 转染组 I 和 III 型胶原的表达值分别为  $0.79 \pm 0.09$  和  $0.77 \pm 0.08$ , 明显高于 TGF- $\beta 1$  组的表达, 差异有统计学意义 ( $P < 0.05$ ), 见图 1。

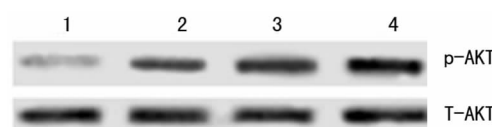


1: 对照组; 2: TGF- $\beta 1$  组; 3: TGF- $\beta 1$ + 阴性转染组; 4: TGF- $\beta 1$ +Prx-1 siRNA 转染组。

图 1 Prx-1 siRNA 转染对 TGF- $\beta 1$  诱导的 I 和 III 型胶原表达的影响

**2.3 ROS 水平** 对照组、TGF- $\beta 1$  组、TGF- $\beta 1$ + 阴性转染组和 TGF- $\beta 1$ +Prx-1 siRNA 转染组的荧光强度分别为  $2988 \pm 379$ 、 $4315 \pm 580$ 、 $4850 \pm 572$ 、 $5841 \pm 782$ 。TGF- $\beta 1$  组的荧光强度显著高于对照组, 差异有统计学意义 ( $P < 0.01$ )。TGF- $\beta 1$ + 阴性转染组和 TGF- $\beta 1$  组的荧光强度差异无统计学意义 ( $P > 0.05$ ), 但 TGF- $\beta 1$ +Prx-1 siRNA 转染组的荧光强度明显高于 TGF- $\beta 1$  组, 差异有统计学意义 ( $P < 0.05$ )。

**2.4 T-Akt 及 p-Akt 的表达** 各组 T-Akt 水平差异无统计学意义 ( $P > 0.05$ )。对照组、TGF- $\beta 1$  组、TGF- $\beta 1$ + 阴性转染组和 TGF- $\beta 1$ +Prx-1 siRNA 转染组的 p-Akt 表达值分别为  $0.29 \pm 0.05$ 、 $0.65 \pm 0.07$ 、 $0.70 \pm 0.10$  和  $0.93 \pm 0.15$ 。TGF- $\beta 1$  组 p-Akt 表达明显高于对照组, 差异有统计学意义 ( $P < 0.01$ )。TGF- $\beta 1$ + 阴性转染组和 TGF- $\beta 1$  组 p-Akt 表达差异无统计学意义 ( $P > 0.05$ ), 但 TGF- $\beta 1$ +Prx-1 siRNA 转染组 p-Akt 表达明显高于 TGF- $\beta 1$  组, 差异有统计学意义 ( $P < 0.01$ , 图 2)。



1: 对照组; 2: TGF- $\beta 1$  组; 3: TGF- $\beta 1$ + 阴性转染组; 4: TGF- $\beta 1$ +Prx-1 siRNA 转染组。

图 2 Prx-1 siRNA 转染对 TGF- $\beta 1$  诱导的 p-Akt 表达的影响

### 3 讨 论

ROS 是在人体有氧代谢过程中产生的一类含有活性氧功能基团的化合物, 包括氧自由基、过氧化物和激发态氧等。正常时 ROS 的生成与清除保持动态平衡, 浓度很低, 参与机体免疫过程、抵抗损伤等, 对机体有保护作用。但病理状态下 ROS 生成增多或清除减少, 浓度增高, 通过攻击细胞脂质、蛋白质和 DNA 引起细胞损伤<sup>[6]</sup>。另外, ROS 还参与细胞内信号转导通路, 作为 TGF- $\beta 1$  等多种细胞因子的第二信使, 调节 ERK1/2、JNK 等信号转导途径, 介导细胞增殖和胶原合成等<sup>[2,7]</sup>。Akt 又称蛋白激酶 B, 其激酶活性区的氨基酸组成与蛋白激酶 A 和

蛋白激酶 C 具有高度的同源性。Akt 属于一种丝氨酸/苏氨酸激酶, 当其第 308 位苏氨酸和第 473 位丝氨酸发生磷酸化时, 该激酶即被激活, 并从细胞膜转移到细胞内, 通过调控下游靶蛋白, 进而调节细胞生物学活动。最近研究显示, ROS 激活的 Akt 途径在胶原的合成过程中发挥重要作用。如 Liu 等<sup>[8]</sup> 报道在卵清蛋白诱导的哮喘和气道重塑过程中, 高良姜素通过抑制 ROS/Akt 途径抑制胶原蛋白的合成, 说明 ROS/Akt 通路介导了卵清蛋白诱导的胶原合成增加。Pérez de Obanos 等<sup>[9]</sup> 也报道谷胱甘肽通过降低 ROS 水平抑制了亮氨酸激活的 Akt 途径, 从而减少肝星形细胞合成 I 型胶原。

利用 Western blot, 本研究发现 TGF- $\beta 1$  刺激肺成纤维细胞 48 h 后, I 和 III 型胶原表达水平较对照组分别增高了 1.71 和 1.33 倍, 说明 TGF- $\beta 1$  可诱导肺成纤维细胞合成 I 和 III 型胶原; 同时 TGF- $\beta 1$  组的 ROS 及 p-Akt 水平也明显增高, 提示 ROS/Akt 信号通路的激活在 TGF- $\beta 1$  诱导的肺成纤维细胞合成 I 和 III 型胶原过程中发挥着重要作用。

Prx-1 是一种新型过氧化物酶, 具有强大的抗氧化能力, 其含有的过氧化半胱氨酸和可溶性半胱氨酸是消除 H<sub>2</sub>O<sub>2</sub> 的主要功能基团。首先过氧化半胱氨酸与 H<sub>2</sub>O<sub>2</sub> 作用, 失去质子, 转变为半胱氨酸次磺酸。然后半胱氨酸次磺酸再通过二硫键与可溶性半胱氨酸缩合, 并在细胞内的二硫键还原酶作用下还原为氧化半胱氨酸, 回到初始状态。这个循环过程可有效降低 H<sub>2</sub>O<sub>2</sub> 水平<sup>[10]</sup>。现已发现在多种疾病中 Prx-1 均可通过降低 ROS 来调节细胞的生物学活性, 如 Prx-1 通过降低 ROS 抑制内皮细胞线粒体的损伤及线粒体介导的细胞凋亡<sup>[11]</sup>。Madrigal-Matute 等<sup>[12]</sup> 最新研究发现 Prx-1 与 NADPH 氧化酶在人动脉粥样硬化斑块巨噬细胞中表达位置相同, 表达水平也呈正相关, 认为不但 Prx-1 可在 ROS 产生的第一时间原位将其清除, 而且对 ROS 敏感度高, 是氧化应激的“感受器”。另外, 更重要的是 Prx-1 还可抑制 ROS 介导的细胞内信号传导通路激活, 如在 β-拉帕醌(一种抗癌药)诱导的人子宫颈癌细胞凋亡过程中, 凋亡信号调节激酶(ASK1)可通过激活 JNK 途径促进细胞凋亡, 而 Prx-1 可通过促进 TRX 与 ASK1 的结合而抑制 ASK1 的活性和细胞凋亡<sup>[13]</sup>。

利用体内外实验, 笔者前期研究发现 Prx-1 在矽肺大鼠肺组织中表达增高, Prx-1 可以通过抑制 ROS 来抑制 JNK 和 ERK1/2 通路激活, 抑制 TGF- $\beta 1$  诱导的肺成纤维细胞增殖及胶原合成增加, 从而抑制矽肺纤维化<sup>[3,7,14]</sup>。本实验利用 Prx-1 siRNA 转染肺成纤维细胞使肺成纤维细胞 Prx-1 基因沉默, 发现沉默 Prx-1 基因后可明显上调 TGF- $\beta 1$  刺激的 ROS 水平, 同时 p-Akt 和 I、III 型胶原合成增强, 说明沉默 Prx-1 基因可激活 ROS/Akt 信号传导通路, 从而有助于 TGF- $\beta 1$  促进肺成纤维细胞合成胶原。也进一步证实 TGF- $\beta 1$  诱导的肺成纤维细胞合成 I 和 III 型胶原过程中, ROS/Akt 信号传导通路的激活具有重要的促进作用。

### 参考文献

- [1] Xu H, Yang F, Sun Y, et al. A new antifibrotic target of Ac-SDKP; inhibition of myofibroblast differentiation in rat lung with silicosis[J]. PLoS One, 2012, 7(7): e40301.
- [2] 赵立双, 魏中秋, 杨方, 等. 活性氧参与 TGF- $\beta 1$  的促肺成纤维细胞增殖的机制[J]. 重庆医学, 2013, 41(10): 1232-1235.

- 纤维细胞增殖和胶原合成作用[J]. 中华劳动卫生与职业病杂志, 2015, 33(1): 15-19.
- [3] 孙影, 魏中秋, 胡亚萍, 等. 新型过氧化物酶 Peroxiredoxin-1 对大鼠肺成纤维细胞 JNK 介导的 I 和 III 型胶原合成的影响[J]. 解剖学杂志, 2014, 37(5): 590-593.
- [4] Lu Y, Azad N, Wang L, et al. Phosphatidylinositol-3-kinase/Akt regulates bleomycin-induced fibroblast proliferation and collagen production[J]. Am J Respir Cell Mol Biol, 2010, 42(4): 432-441.
- [5] Bae JY, Ahn SJ, Han W, et al. Peroxiredoxin I and II inhibit H<sub>2</sub>O<sub>2</sub>-induced cell death in MCF-7 cell lines[J]. J Cell Biochem, 2007, 101(4): 1038-1045.
- [6] 李丹, 李蓓, 石亚楠, 等. 心力衰竭与活性氧关系研究进展[J]. 中华实用诊断与治疗杂志, 2013, 27(1): 8-10.
- [7] 孙影, 刘宝欣, 魏中秋, 等. ERK1/2 通路在 Peroxiredoxin-1 抑制 TGF-β1 诱导的肺成纤维细胞增殖中的作用[J]. 广东医学, 2015, 36(14): 2139-2141.
- [8] Liu YN, Zha WJ, Ma Y, et al. Galangin attenuates airway remodelling by inhibiting TGF-β1-mediated ROS Generation and MAPK/Akt phosphorylation in asthma[J]. Sci Rep, 2015, 5(6): 11758.
- [9] Pérez De Obanos MP, López-Zabalza MJ, Arriazu E, et al. Reactive oxygen species (ROS) mediate the effects of leucine on translation regulation and type I collagen production in hepatic stellate cells[J]. Biochim Biophys Acta,
- 2007, 1773(11): 1681-1688.
- [10] Rhee SG, Woo HA, Kil IS, et al. Peroxiredoxin functions as a peroxidase and a regulator and sensor of local peroxides[J]. J Biol Chem, 2012, 287(7): 4403-4410.
- [11] Fiuza B, Subelzú N, Calcerrada P, et al. Impact of SIN-1-derived peroxy nitrite flux on endothelial cell redox homeostasis and bioenergetics: protective role of diphenyl diselenide via induction of peroxiredoxins[J]. Free Radic Res, 2015, 49(2): 122-132.
- [12] Madrigal-Matute J, Fernandez-Garcia CE, Blanco-Colio LM, et al. Thioredoxin-1/peroxiredoxin-1 as sensors of oxidative stress mediated by NADPH oxidase activity in atherosclerosis[J]. Free Radic Biol Med, 2015, 86 (17): 352-361.
- [13] He T, Banach-Latapy A, Vernis L, et al. Peroxiredoxin 1 knockdown potentiates β-lapachone cytotoxicity through modulation of reactive oxygen species and mitogen-activated protein kinase signals[J]. Carcinogenesis, 2013, 34 (4): 760-769.
- [14] 刘佳麒, 郑素琴, 桑银洲, 等. 染砂尘大鼠肺组织过氧化物还原酶 I 蛋白表达的情况[J]. 中华劳动卫生职业病杂志, 2013, 31(7): 531-533.

(收稿日期: 2016-03-02 修回日期: 2016-04-19)

(上接第 4098 页)

- [6] 裴卓斐. 掌指骨骨折应用微型钢板与克氏针内固定治疗的比较研究[J]. 中国现代药物应用, 2015, 9(18): 28-29.
- [7] 石昆, 李景毅. 有限切开微型钢板与克氏针内固定治疗掌骨骨折的对比研究[J]. 生物医学工程与临床, 2015, 3 (2): 19-22.
- [8] 覃海森, 黄永军, 张惠茹, 等. 三种不同固定方法在掌指骨开放性骨折急诊治疗中的效果分析[J]. 中国医疗前沿, 2013, 8(12): 9-10.
- [9] 夏晓明. 克氏针与微型钢板置入内固定修复掌指骨骨折: 手部功能及不良反应随访[J]. 中国组织工程研究, 2015, 19(17): 2741-2744.
- [10] 张振, 姚烈辉. AO 微型钢板螺钉与克氏针治疗掌指骨骨折的比较研究[J]. 大家健康(中旬版), 2014, 8(21): 131.
- [11] 张之斌, 李允, 孙渺, 等. 微型钢板与克氏针在掌指骨开放性骨折急诊治疗中的疗效比较[J]. 中国煤炭工业医学杂志, 2014, 17(10): 1549-1552.
- [12] 赵波, 高青凤, 邓长康. 微型钢板内固定治疗掌指骨骨折的临床研究[J]. 中国当代医药, 2015, 22(25): 76-78.
- [13] 赵根隆, 刘文豪, 曾开, 等. 微型钢板与克氏针内固定治疗掌指骨骨折的疗效对比分析[J]. 中国骨与关节损伤杂志, 2013, 28(1): 90-91.

- [14] Facca S, Ramdhian R, Pelissier A, et al. Fifth metacarpal neck fracture fixation: Locking plate versus K-wire? [J]. Orthop Traumatol Surg Res, 2010, 96(5): 506-512.
- [15] Komurcu M, Alemdaroglu B, Kurklu M, et al. Handgun injuries with metacarpal and proximal phalangeal fractures: early definitive treatment[J]. Int Orthop, 2008, 32 (2): 257-262.
- [16] Takigami H, Sakano H, Saito T. Internal fixation with the low profile plate system compared with Kirschner wire fixation: clinical results of treatment for metacarpal and phalangeal fractures[J]. Hand Sur, 2010, 15(1): 1-6.
- [17] Atthakomol P, Wangjiraphan N, Krudtong S, et al. Pull-out strength of 0 degrees /30 degrees Kirschner wire syringe external fixators with and without polymer augmentation: a biomechanical study[J]. J Med Assoc Thai, 2015, 98(1): 82-87.
- [18] Kumar S, Singh SK, Jayant K, et al. Forgotten Kirschner wire causing severe hematuria[J]. Case Rep Urol, 2014 (2014): 305868.

(收稿日期: 2016-03-01 修回日期: 2016-04-18)